

# 接着粗骨材コッターを用いた増設耐震壁に関する実験的研究

## Experimental Study on Retrofit Structural Wall Utilizing Adhered Aggregate for Shear Connection

高谷真次 丸田誠  
閑田徹志 柳田克巳

### I. はじめに

既存の鉄筋コンクリート建造物を耐震補強する際、RC耐震壁を増設する場合があるが、既存柱梁にアンカーをあと施工し、増設壁との応力伝達を図る手法<sup>1)</sup>が一般的である。ところが、建物を使用しながら補強工事を行う「居ながら施工」への要求が高まっており、アンカーアクションに伴う騒音・振動の発生が障害となっていた。著者は、Fig. 1 に示すように、あと施工アンカーアクションを行わずに増設耐震壁と既存フレームの一体性を確保する手法として、既存柱梁フレーム内周に粗骨材を接着し、それをコッター（以下、粗骨材コッター）とするとともに、膨張コンクリートを用いて乾燥収縮による肌分かれを防ぐ工法を考案した。本論文では、本工法の最大耐力および破壊性状を確認することを目的とした構造実験結果、並びに増設壁と既存フレームの一体性に関する検討結果を示す。

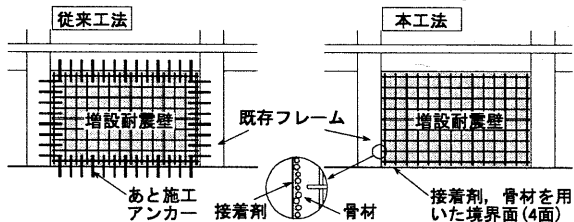


Fig. 1 接着粗骨材コッターを用いた耐震補強工法  
(Seismic Retrofit Method with Adhered Aggregate Cotter)

### II. 実験計画

#### 1. 試験体

試験体一覧を Table 1 に、試験体形状を Fig. 2 に、鉄筋の機械的性質を Table 2 に示す。試験体の縮尺は実建物の約 2/5 を想定している。実験因子は、せん断補強筋比とコンクリート強度  $\sigma_b$  および粗骨材コッター寸法とした。W1 を基準試験体とし、W2 では、既存フレームと増設壁が別々に水平力に抵抗した場合に起りうる柱パンチング破壊耐力の影響を把握するために、柱のコンクリート強度とせん断補強筋量を低減した。また、壁筋量も低減させた。W3 では、粗骨材コッター寸法を W1, W2 の約半分 (2.5~5mm) とした。また、W2, W3 では、壁コンクリートと壁上部グラウトの打ち継ぎ境界面での破壊を避けるために補強筋を配した。既存フレームと増設壁の間に空隙を残さないようにするために、壁上部を無収縮モルタルでグラウトした。基礎と加力部は Fc48MPa のコンクリートを、接着剤は引張強さ 15MPa 以上のアクリル系接着剤を使用した。

本報は、コンクリート工学年次論文集、Vol.24 (2002.6) 投稿論文の要約である。

**キーワード：**耐震補強、接着剤、増設耐震壁、膨張コンクリート、粗骨材

Table 1 試験体一覧  
(List of Specimens)

試験体名	W1	W2	W3
壁	厚さ	75	
	配筋	D6@100	D6@170
	$\sigma_b$ (Mpa)	23	24
柱	断面	250×250	
	主筋	12-D16	
	HOOP	D6@33	D6@100
グラウト	$\sigma_b$ (Mpa)	29	20
	厚さ	t=50	
	$\sigma_b$ (Mpa)	105	
境界面	補強筋	-	10-D6
	接着剤厚さ	3	1
	骨材粒径	5~10	2.5~5
軸力 (kN)			
	600	450	600

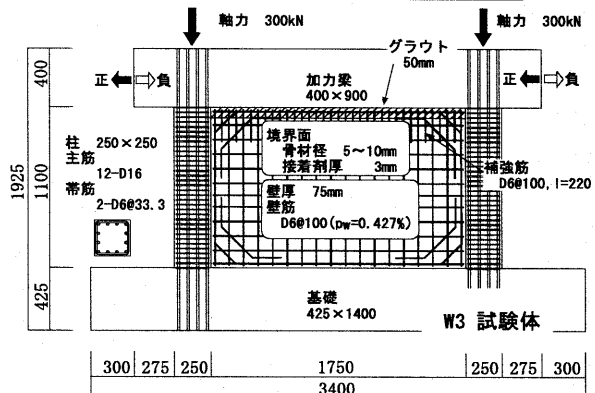


Fig. 2 試験体形状(W3)  
(Outline of W3 Specimen)

Table 2 鉄筋の物理的性質  
(Properties of Reinforcement Bar)

径	部位	$\sigma_y$ (MPa)	$\epsilon_y$ ( $\mu$ )	$E_s$ (GPa)
D16	柱主筋	350	1866	188
D6	柱帯筋	341	1937	182
	壁筋	335	1770	189

#### 2. 加力方法

基礎を固定し、加力梁上部に設置した軸力戴荷ジャッキにて柱部分に柱軸耐力の 1/5 の軸力を加えた後、その左右に設置した押し引きジャッキにより加力梁中央レベルの部材角で変形制御し、1/1600 を 1 回、1/800, 1/400, 1/200, 1/100, 1/50 を各 2 回繰り返し最後に 1/25 まで正方向に戴荷した。

### III. 実験結果および考察

#### 1. 壁コンクリートの膨張

W3 壁膨張コンクリート打設後の壁筋ひずみ履歴を Fig. 3 に示す。打設後コンクリートの沈降により圧縮ひずみが生じるが、上部隙間をグラウト材で充填した後は、全ての壁筋に引張ひずみが発生しており、目視観察による肌分かれも見当たらなかつた。

## 2. 破壊性状

実験結果一覧を Table 3 に、代表として W3 の荷重変形関係と実験終了後の写真を Fig. 4, Photo 1 に示す。Fig. 4 中の計算耐力は、後述の式(1), (2)により算出している。全試験体とも、壁のせん断破壊によって耐力が低下した。なお、既存フレームと増設壁の境界面に発生したひび割れ幅は、せん断破壊により耐力低下が起こるまで微小であつた。柱軸力は、実験終了まで保持されていた。

## 3. すべり変形性状

接着粗骨材コッター一面でのすべり変形を評価するために、Fig. 5 に加力梁下面とそこから 65mm 下方の壁上部との間で測定した相対変位を示す。最大荷重時までの相対変位は、非常に小さい。この測定値には曲げ変形とせん断変形が含まれているので、すべり変形はさらに小さい数値となる。

## 4. 鉄筋ひずみ分布

W3 試験体の壁中央や右で計測した横筋ひずみ分布を Fig. 6 に示す。Y 軸はひずみを計測した鉄筋高さを示す。計測されたひずみ値はひび割れの影響を含んでいるが、部材変形角の増大に伴ってひずみ値も増大し、変形角が 1/200 程度に達したあたりで降伏し始めている。これより、柱内に定着されていない壁横筋もせん断力に対して有効に抵抗していることがわかる。

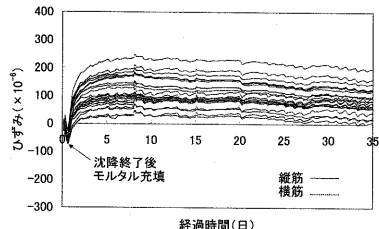


Fig. 3 壁筋ひずみ履歴  
(Strain History of Reinforcement Bars)

Table 3 実験結果一覧  
(List of Experimental Results)

試験体		W1		W2		W3	
		kN	rad.	kN	rad.	kN	rad.
壁部 せん断ひ び割れ	正側	494 1/1719	461 1/1818	492 1/2060			
	負側	511 1/1532	461 1/1943	490 1/2213			
最大荷重	正側	1283 1/132	1215 1/138	1376 1/151			
	負側	1232 1/200	1118 1/201	1331 1/201			

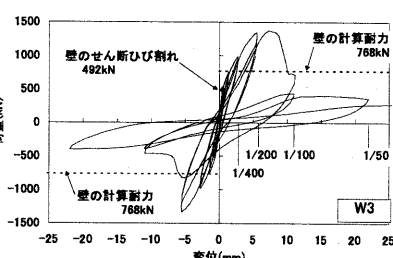


Fig. 4 荷重変形関係図  
(Hysteresis Curve)

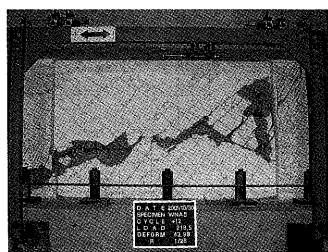


Photo 1 実験終了後  
(Crack Pattern after Test)

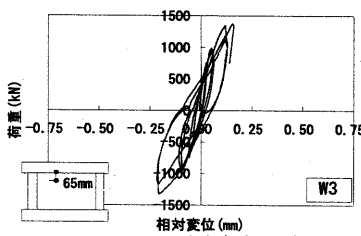


Fig. 5 壁上部相対変位  
(Relative Displacement at Upper Portion of Wall)

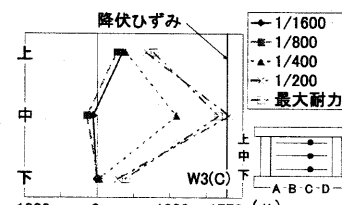


Fig. 6 壁横筋ひずみ分布  
(Strain of Horizontal Bar)

## 5. 最大耐力の検討

増設耐震補強壁のせん断耐力設計式として式(1)が提案<sup>1)</sup>されている。(耐震改修設計指針式)

$$Qu = pQc + Qj + Qc \quad (1)$$

$Qc$ : 柱パンチングシア耐力<sup>1)</sup>

$Qj$ : 接着接合部せん断耐力,  $Qc$ : 柱せん断耐力<sup>3)</sup>

接着接合部せん断耐力  $Qj$  を評価するために、既存フレームと増設壁の境界面を模擬した直接せん断実験を行った。接着接合面のせん断強度は破壊するコンクリートの割裂強度で評価できるという報告<sup>4)</sup>もあるため、引張強度下限<sup>5)</sup>を考慮した式(2)で検討したところ実験値は計算耐力を上回っており本評価法で安全側に評価できることが確認された。

$$Qj = 0.38\sqrt{\sigma_B \cdot Aw} \quad (2)$$

$\sigma_B$ : コンクリート圧縮強度(MPa),  $Aw$ : 接着接合面積

式(1)(2)による計算値( $Qsu3$ )に加え、一般耐震壁を対象としたせん断耐力式の計算値( $Qsu1$ ,  $Qsu2$ )と実験結果を比較し Table 4 に示す。本実験では壁のせん断破壊が先行したため  $Qsu1$ ,  $Qsu2$  の計算では壁コンクリート強度を使用した。

実験耐力は式(1)(2)による計算値を大きく上回っており、この式により安全側に耐力評価できている。さらに、実験耐力は一体壁のせん断耐力設計式による計算値をも大きく上回っており、Fig. 6 の壁横筋ひずみ結果と併せて見ると、本実験では、既存フレームと増設壁が一体壁と同等な挙動をしたと思われる。

Table 4 耐力比較  
(Comparison of Strength)

	計算耐力(kN)			実験耐力 (kN)	比較		
	Qsu1	Qsu2	Qsu3		Qu/Qsu1	Qu/Qsu2	Qu/Qsu3
W1	750	626	761	1283	1.71	2.05	1.69
W2	722	593	622	1215	1.68	2.05	1.95
W3	759	630	768	1376	1.81	2.18	1.79

$Qsu1$ : 終局強度型設計指針式<sup>2)</sup>,  $R_p=0$

$Qsu2$ : 修正荒川下限式<sup>3)</sup>,  $Qsu3$ : 耐震改修設計指針式<sup>1)</sup>

注:  $Qsu1$ ,  $Qsu2$  は壁コンクリート強度を用いて耐力を算出。

## IV. まとめ

- 最大耐力は、壁筋が外周フレームに定着された一般的な耐震壁の設計耐力を大きく上回った。また、最大耐力時の層間変形角は約 1/150 であった。試験体はせん断破壊後も軸力を保持していた。
- 既存フレームと増設壁の境界面に生じたひび割れ幅は、最大耐力時においても微小であり両者は破壊するまで一体性を保っていた。また、接着接合面のすべり変形、水平方向鉄筋のひずみ分布からも一体性が裏付けられた。

## 参考文献

- 日本建築防災協会: 既存鉄筋コンクリート造建築物の耐震改修設計指針・同解説, 2001.
- 日本建築学会: 鉄筋コンクリート造建物の終局強度型耐震設計指針・同解説, 1990.
- 日本建築センター: 建築物の構造規定, 1997.
- 宮内靖昌ほか: 鉄骨プレースの接着接合により耐震補強された RC 架構の力学性状、コンクリート工学年次論文報告集, Vol. 20, No. 3, (1998), pp. 1153-1158.
- 日本建築学会: 鉄筋コンクリート構造計算規準・同解説, 1999.